

O EFEITO DA SUBSTITUIÇÃO PARCIAL DO Y POR Pr SOBRE A DENSIDADE DE ENERGIA CINÉTICA DE CONDENSAÇÃO DOS PARES DE COOPER NO COMPOSTO SUPERCONDUTOR Y_{0,05}Pr_{0,05}Ba₂Cu₃O_{7-δ}

RENNAN PEREIRA DE SOUZA¹; ALCIONE ROBERTO JURELO²; VALDEMAR DAS NEVES VIEIRA³

¹UNIVERSIDADE FEDERAL DE PELOTAS - UFPEL – ren_nanps@hotmail.com ²UNIVERSIDADE ESTADUAL DE PONTA GROSSA – UEPG ³UNIVERSIDADE FEDERAL DE PELOTAS - UFPEL – vdnvieira@gmail.com

1. INTRODUÇÃO

Neste trabalho reportamos os resultados provenientes da realização de um estudo experimental sobre os efeitos da substituição nominal de 5% do Y por Pr [1] sobre o comportamento da densidade de energia cinética de condensação dos pares de Cooper [$E_K(T,B)$], onde T é a temperatura e B ($B = \mu 0H$) é o campo de indução magnética, do supercondutor YBa₂Cu₃O_{7- δ} (YBCO) monocristalino.

O comportamento de $E_K(T,B)$ foi obtido a partir da aplicação do teorema do virial da supercondutividade (TVS) [2] o qual permite que $E_K(T,B)$ seja obtido diretamente de medidas magnéticas, oriundas da fase supercondutora, levando em consideração que $E_K(T,B)$ é definido como o produto escalar entre os vetores magnetização reversível , M e B, ou seja:[2]

$$E_{K}(T,B) = -M.B \tag{1}$$

A análise do comportamento de $E_{\rm K}(T,B)$, obtido a partir do emprego da eq. (1), é válido para $T \geq T_{\rm IRR}(B)$ onde $T_{\rm IRR}(B)$ é a temperatura de irreversibilidade magnética a qual encontra-se definida na figura 1b.

A substituição parcial do Y por Pr no YBCO reduz significativamente o valor da temperatura crítica de transição para o estado supercondutor, $T_{\rm C}$ [1] apesar desses átomos apresentarem a mesma valência entretanto, segundo nosso conhecimento, ainda não há estudos listados na literatura que abordem o efeitos dessa substituição sobre o comportamento de $E_{\rm K}(T,B)$. Desta maneira, neste trabalho nos propomos pesquisar este efeito e compará-lo aos resultados listados na literatura para $E_{\rm K}(T,B)$ em amostras monocristalinas de YBCO ($T_{\rm C} \sim 93,3{\rm K}$) e de $Y_{0,95}{\rm Ca}_{0,05}{\rm Ba}_2{\rm Cu}_3{\rm O}_{7-\delta}$ [(YCa)BCO] ($T_{\rm C} \sim 89,5{\rm K}$).

2. METODOLOGIA

A amostra empregada neste trabalho foi crescida, através do emprego da técnica de auto-fluxo, no departamento de Física da UEPG. A estequiometria nominal empregada foi a $Y_{0,95} Pr_{0,05} Ba_2 Cu_3 O_{7-\delta}$ para um montante de 5g de material o qual foi misturado e macerado no interior de um almofariz de ágata para após ser depositado sobre a superfície de um cadinho de zircônia. Esse conjunto foi então colocado no interior de um forno mufla e submetido a um tratamento térmico específico o qual culminou com o crescimento dos monocristais.

As medidas de magnetização DC foram realizadas no laboratório de supercondutividade e magnetismo (LSM) da UFRGS onde através do emprego de um magnetômetro SQUID foi possível determinar o comportamento da magnetização DC através do emprego dos procedimentos "zero field cooled",



 $M_{\rm ZFC}(T)$ e field cooled cooling, $M_{\rm FCC}(T)$ quando 0,001T $\leq B \leq$ 5T foram aplicados ao longo da direção cristalográfica c (espessura) da amostra de (YPr)BCO, cujo formato é semelhante ao de uma plaqueta medindo aproximadamente 1mm² de área e 0,1 mm de espessura. O "inset" da figura 1b ilustra os comportamentos de $M_{\rm ZFC}(T)$ e $M_{\rm FCC}(T)$ quando B=0.5T foi aplicado. Na figura principal é destacado o perfil apresentado pelos dados de $\Delta M(T)$ o qual foi obtido a partir da diferença entre esses dois comportamentos, $\Delta M=M_{\rm FCC}(T)-M_{\rm ZFC}(T)$.

No procedimento ZFC a amostra foi resfriada na ausência de B aplicado partindo de uma $T > T_{\rm C}$ até que uma $T < T_{\rm C}$ seja atingida. A partir desse momento um valor de B previamente selecionado é aplicado ao longo do eixo c da amostra (B // c) e $M_{\rm ZFC}(T)$ é registrado durante o aquecimento da amostra até que uma determinada $T > T_{\rm C}$ seja atingida. Imediatamente após a conclusão do procedimento ZFC têm início o procedimento FCC. Desta forma, sem realizar qualquer ajuste no valor de B aplicado, resfria-se a amostra a partir de $T > T_{\rm C}$, agora sobre a aplicação de B, registrando-se $M_{\rm FCC}(T)$ durante o resfriamento da amostra até que um determinado $T < T_{\rm C}$ seja atingido.

A análise dos dados e a montagem dos gráficos foi realizada utilizando um software compatível para este fim.

3. RESULTADOS E DISCUSSÃO

Na Figura 1 são destacados os comportamentos de $M_{\rm ZFC}(T)$, $M_{\rm FCC}(T)$, $T_{\rm C}(B)$ e $T_{\rm IRR}(B)$ registrados para a amostra (YPr)BCO quando: A) $B=0.001{\rm T}$ e B) $B=0.5{\rm T}$ são aplicados. Enquanto que o critério empregado na determinação de $T_{\rm C}(B{\sim}0)$ é enfatizado na figura 1A, o "inset" da figura 1B destaca o perfil dos comportamentos de $M_{\rm ZFC}(T)$ e $M_{\rm FCC}(T)$ empregados na determinação $T_{\rm IRR}(B)$ obtida a partir da subtração desses comportamentos.

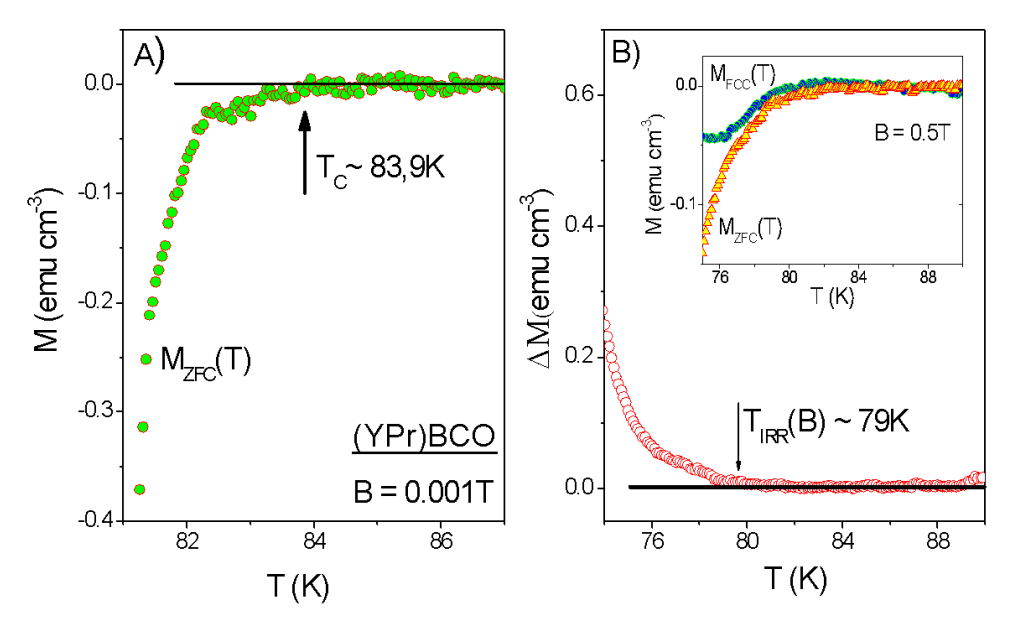


Figura 1: O comportamento de $M_{\rm ZFC}(T)$, $M_{\rm FCC}(T)$, $T_{\rm C}(B)$ e $T_{\rm IRR}(B)$ para a amostra (YPr)BCO quando: A) B = 0,001T e B) B = 0,5T são aplicados. O "inset" da figura 1 B) destaca o perfil dos comportamentos de $M_{\rm ZFC}(T)$ e $M_{\rm FCC}(T)$ empregados na determinação $T_{\rm IRR}(B)$.



Na Figura 1A o valor $T_{\rm C}(0) \sim 83,9$ K para (YPr)BCO é definido como o valor de T no qual, dentro da precisão experimental adotada, o perfil dos dados de $M_{\rm ZFC}(T)$ abandona a linha de base da zero.[3-5] O valor determinado para $T_{\rm C}(0)$ está de acordo com os demais valores de $T_{\rm C}$ reportados para amostras de $T_{\rm C}$ 0,05 $T_{\rm C}$ 10,05 $T_{\rm C}$ 20,05 $T_{\rm C}$ 30,05 $T_{\rm C}$ 30,05 $T_{\rm C}$ 40 literatura.[1]

Na figura 1-B também é destacado o critério empregado na determinação de $T_{\rm IRR}(B)$ o qual mostrou-se semelhante ao aplicado na determinação de $T_{\rm C}(0).[1,3,5]$ A determinação de $T_{\rm IRR}(B)$ é muito importante para a análise empregada neste trabalho uma vez que o comportamento de $E_{\rm K}(T,B)$, obtido a partir da aplicação da equação (1), segundo o TVS, somente pode ser interpretado se for obtido a partir do comportamento reversível de M(T) ou seja quando os dados de $M_{\rm ZFC}(T)$ e $M_{\rm FCC}(T)$ forem coincidentes, ou seja, para $T \geq T_{\rm IRR}(B)$. A magnetização reversível não depende do histórico térmico-magnético no qual o supercondutor foi submetido.[3-5] Este comportamento, do ponto de vista termodinâmico, é caracterizado como de equilíbrio. Nesse trabalho iremos empregar a M(T) reversível para a determinação e análise do comportamento de $E_{\rm K}(T,B)$.[1]

A figura 2A ilustra os comportamentos de $E_{\rm K}(T,B)$ versus T obtidos em função de B, onde os valores B empregados encontram-se listados na legenda da figura 2A. Note que os valores de T correspondente a $T_{\rm IRR}(B)$, quadrados preenchidos, encontram-se destacados nos gráficos de $E_{\rm K}(T,B)$ versus T. Na figura 2B, os comportamento de $E_{\rm K}(T,B)$ versus T $T_{\rm C}^{-1}$ para $T \geq T_{\rm IRR}(B)$ e B = 5T, para as amostra de YBCO, (YCa)BCO e (YPr)BCO são colocados em destaque com o objetivo de promover o contraste entre os comportamentos de $E_{\rm K}(T,B)$ versus T $T_{\rm C}^{-1}$ obtidos para esses monocristais.

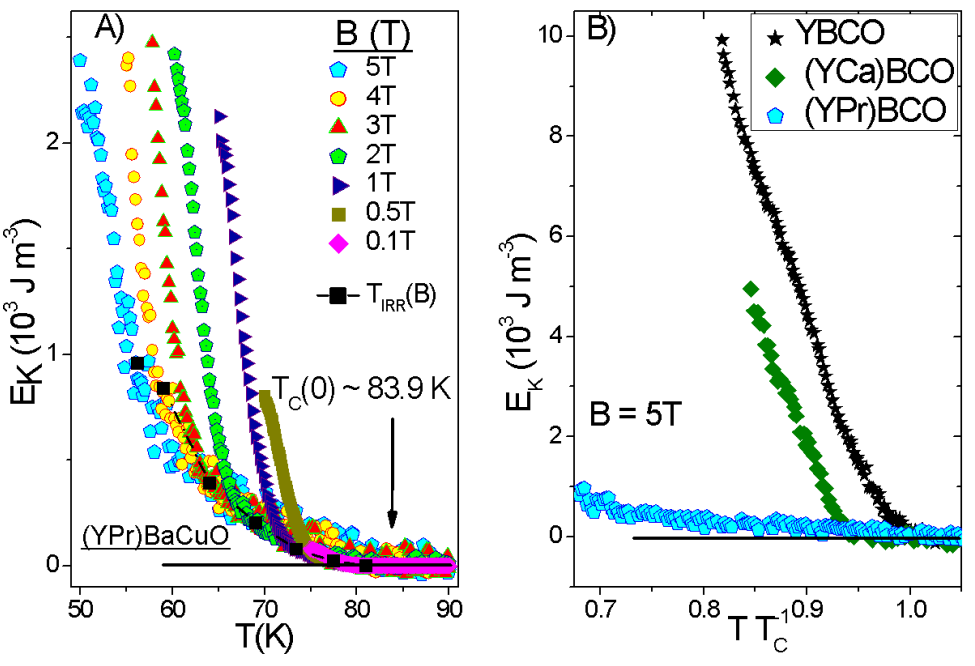


Figura 2: A) O comportamento de $E_K(T,B)$ versus T para a amostra de (YPr)BCO quando 0,1T ≤ B ≤ 5T foram aplicados. B) O comportamento de $E_K(T,B)$ versus T T_C^{-1} para as amostras YBCO, (YCa)BCO e (YPr)BCO quando B = 5T foi aplicado.

Ao analisar o comportamento dos dados da figura 2A verifica-se que no intervalo de temperatura $T_{\rm IRR}(B) \leq T \leq T_{\rm C}(B)$ a intensidade de $E_{\rm K}(T,B)$ aumenta enquanto T diminui o que também é verificado ocorrer com os dados de $E_{\rm K}(T,B)$ para o YBCO e o (YCa)BCO apresentados na figura 2B. Além disso, é possível



identificar a fraca dependência de $E_{\rm K}(T,B)$ em relação a intensificação de B nesse intervalo de temperatura. Esses dois comportamentos de $E_{\rm K}(T,B)$ foram igualmente identificados para amostras monocristalinas de YBa₂Cu₃O_{7- δ},[3,5] YBa_{1.75}Sr_{0.25}Cu₃O_{7- δ} [3,5] e Y_{1-x}Ca_xBa₂Cu₃O_{7- δ} (x ≤ 0,10).[3,5]

A figura 2B evidencia o principal efeito da substituição parcial de 5% do Y por Pr sobre $E_{\rm K}(T,B)$ no sistema YBa₂Cu₃O_{7- δ} ou seja a forte diminuição da intensidade de $E_{\rm K}(T)$ versus T frente a aplicação de B.[1,2,4,5] Este resultado torna-se mais contundente quando comparado ao apresentado pelos monocristais de YBa₂Cu₃O_{7- δ} e Y_{0,95}Ca_{0,05}Ba₂Cu₃O_{7- δ} em termos da temperatura reduzida T T_{C} - 1 e mesmo valor de B aplicado.

4. CONCLUSÕES

A realização desse estudo experimental permitiu identificar que a substituição de 5% do Y por Pr não altera significativamente o perfil do comportamento de $E_{\rm K}(T,B)$ versus T frente a aplicação de B quando comparado ao já observado para o comportamento dessa grandeza em outras amostras monocristalinas de YBa₂Cu₃O₇₋₅ pura ou dopadas quimicamente. Por outro lado, a substituição parcial de 5% do Y por Pr, na estrutura do YBa₂Cu₃O₇₋₅, resultou na redução significativa da intensidade de $E_{\rm K}(T,B)$ no sistema YBa₂Cu₃O₇₋₅ monocristalino. Associamos a observação desse comportamento, possivelmente, ao forte efeito de quebra de pares de Cooper devido a substituição intersticial dos átomos de Pr na estrutura do YBa₂Cu₃O₇₋₅. Além de substituírem os átomos de Y o Pr também é absorvido pelo sítio do Ba. De acordo com esse cenário, a quebra de pares é identificada como a principal causa na promoção da redução de $T_{\rm C}$, sendo que esta redução provavelmente diminui a densidade de portadores no estado supercondutor afetando também o comportamento de $E_{\rm K}(T,B)$.

5. REFERÊNCIAS BIBLIOGRÁFICAS

- [1] BARROS, F. M. et al UNCOVENTIONAL SUPERCONDUCTING GRANULARITY OF THE $Y_{1-x}Pr_xBa_2Cu_3O_{7-\delta}$ COUMPOUND *PHYS. REV. B* 73, 094515, 2006.
- [2] M. M. Dória, J. E. Gubernatis and D. Rainer *Phys. Rev. B*, 39(13),9573-9575, May 1989.
- [3] Mendonça, A. P. A. Os efeitos da desordem química na energia cinética de condensação dos pares de Cooper no supercondutor YBa2Cu3O7-x. 08-2013. Dissertação (Mestrado em Física). PPGF. UFPel.
- [4] Peña, J. P. Estudo da energia cinética do condensado nos sistemas supercondutores $SmBa2Cu307-\delta$, Bi2Sr2CaCu20x e Ba Fe1-x Cox As2. 2012. Dissertação(Mestrado em Física) IF, UFRGS.
- [5] VIEIRA, V.N.et al Effects of hole doping and chemical pressure on the average superconducting kinetic energy of YBa₂Cu₃O_{7- δ single crystals **Journal of Physics: Conference Series** 568, 022049 (2014).}